

## 1. 使用 Monte Carlo 方法估计超球（hypersphere）的体积。

```
3 def hypersphere(n):
4     N = 0
5
6     for i in range(1000000):
7         r = 0
8
9         for j in range(n):
10            x = np.random.rand()
11            r += x**2
12
13            if r <= 1:
14                N += 1
15
16     return (N/1000000) * (2**n)
17
18 print(hypersphere(2))
19 print(hypersphere(3)*0.75)
20 print(hypersphere(4))
21 print(hypersphere(5))
```

定义 *hypersphere(n)* 函数来计算  $n$  维超球的体积。

Monte Carlo 模拟次数为 100 万次，每次模拟采样的样本点都随机均匀落在边长为 2 的超立方体内。超球半径为 1， $N$  为落在超球内部的样本点总数。

由于超球是  $n$  维，函数中  $j$  指标满足  $j=0,1,2,\dots,n-1$ 。样本点的坐标  $x = (x_0, x_1, \dots, x_{n-1})$ ，样本点离圆心的距离  $r = \sum_{j=0}^{n-1} x_j^2$ ，判断样本点是否落在超球内部， $r \leq 1$  即落在内部。

这样就有： $\frac{N}{10^6} = \frac{V_{\text{hypersphere}}}{V_{\text{hypercube}}}$ ，由于  $V_{\text{hypercube}} = 2^n$ ， $V_{\text{hypersphere}} = 2^n \times \frac{N}{10^6}$ 。

2 维超球（圆）的体积为  $\pi$ ，3 维超球（球）的体积为  $\frac{4}{3}\pi$ 。将 *hypersphere(2)* 和  $\frac{3}{4}$  *hypersphere(3)* 的结果输出，与  $\pi$  的值作对比，并输出 *hypersphere(4)*（4 维超球）和 *hypersphere(5)*（5 维超球）的体积。结果如图所示：

```
3.140492
3.1418999999999997
4.924976
5.276576
```

对于 2 维，相对误差  $\eta = 0.035\%$ 。对于 3 维，相对误差  $\eta = 0.01\%$ 。

对于 4 维超球， $V = \frac{\pi^2}{2}$ ，相对误差  $\eta = 0.20\%$ 。

对于 5 维超球， $V = \frac{8\pi^2}{15}$ ，相对误差  $\eta = 0.24\%$ 。

Input:  $n$

Output: *the volume of  $n$  – dimension hypersphere*

1. **Function** *hypersphere*( $n$ )
2.  $N \leftarrow 0$
3. **For**  $i \leftarrow 1$  to 1000000 **Do**
4.      $r \leftarrow 0$
5.     **For**  $j \leftarrow 1$  to  $n$  **Do**
6.          $x \leftarrow \text{random number} \in [0,1)$
7.          $r \leftarrow r + x^2$
8.     **If**  $r \leq 1$  **Then**
9.          $N \leftarrow N + 1$
10.  $V \leftarrow 2^n \times \frac{N}{10^6}$
11. **Return**  $V$
12. **End Function**

2. 使用 Monte Carlo 方法估计 3D Heisenberg spin model 的居里温度。

定义 1 个 Heisenberg 类，来构造 Heisenberg model:

```
4 class Heisenberg(object):
5
6     def __init__(self, size, J):
7         self.size = size
8         self.J = J
9         self.lattice = np.ones([size, size, size, 3])
```

这个类有三个初始化属性：`size` 表示这个立方晶格每条边上格点的个数；`J` 在本题中等于 1；`lattice` 是一个  $size \times size \times size \times 3$  的矩阵，表示这个立方晶格共有  $size^3$  个格点，每个格点的自旋都有 3 个方向的分量。

定义 2 个方法：`initialize_spin()` 初始化自旋和 `random_spin()` 随机化自旋。

```
11 def initialize_spin(self):
12     for i in range(self.size):
13         for j in range(self.size):
14             for k in range(self.size):
15                 self.lattice[i, j, k] = np.array([0.0, 0.0, 1.0])
16     return None
17
18 def random_spin(self):
19     for i in range(self.size):
20         for j in range(self.size):
21             for k in range(self.size):
22                 vec = np.random.randn(3)
23                 vec = vec / np.linalg.norm(vec)
24                 self.lattice[i, j, k] = vec
25     return None
```

`initialize_spin()` 把所有格点的自旋均设置为 (0,0,1)，即全都朝向  $z$  轴方向。

`random_spin()` 把所有格点的自旋随机化，自旋是一个模为 1 的随机向量，均匀分布在半径为 1 的球面上。随机化的方法是：先随机生成服从标准正态（standard normal）分布的  $x, y, z$ ，再将矢量  $vec = (x, y, z)$  归一化，这样的矢量  $vec$  就均匀分布在单位球面上，证明详见 <http://corysimon.github.io/articles/uniformdistn-on-sphere/>。

`initialize_spin()` 对应低温状态，自旋有序排列；`random_spin()` 对应高温状态，自旋无序随机排列。

定义 6 个方法:  $x\_before()$ ,  $x\_after()$ ,  $y\_before()$ ,  $y\_after()$ ,  $z\_before()$ ,  $z\_after()$ 。

```

27     def x_before(self, x, y, z):          39     def y_before(self, x, y, z):
28         if x < 1:                          40         if y < 1:
29             return [self.size - 1, y, z]  41             return [x, self.size - 1, z]
30         else:                              42         else:
31             return [x - 1, y, z]          43             return [x, y - 1, z]
32                                         44
33     def x_after(self, x, y, z):            45     def y_after(self, x, y, z):
34         if x > self.size - 2:              46         if y > self.size - 2:
35             return [0, y, z]              47             return [x, 0, z]
36         else:                              48         else:
37             return [x + 1, y, z]          49             return [x, y + 1, z]

```

Heisenberg model 中, 任意一格点均有 6 个相邻格点与其有相互作用, 同时还要考虑到周期性边界条件, 所以要定义 6 个函数来寻找满足周期性边界条件的“邻居”。

定义方法:  $unit\_E(x, y, z)$  来计算坐标为  $[x, y, z]$  格点的相互作用能。

```

65     def unit_E(self, x, y, z):
66         [x1, y1, z1] = self.x_before(x, y, z)
67         [x2, y2, z2] = self.x_after(x, y, z)
68         [x3, y3, z3] = self.y_before(x, y, z)
69         [x4, y4, z4] = self.y_after(x, y, z)
70         [x5, y5, z5] = self.z_before(x, y, z)
71         [x6, y6, z6] = self.z_after(x, y, z)
72         spin = self.lattice[x1, y1, z1] + self.lattice[x2, y2, z2] + self.lattice[x3, y3, z3] \
73             + self.lattice[x4, y4, z4] + self.lattice[x5, y5, z5] + self.lattice[x6, y6, z6]
74
75         E = -self.J * self.lattice[x, y, z].dot(spin)
76         return E

```

$[x_i, y_i, z_i]$  ( $i = 1, 2, \dots, 6$ ) 分别代表 6 个相邻格点的坐标。由于相互作用能  $E_{ij} = -J\vec{S}_i \cdot \vec{S}_j$ , 那么单个格点与其相邻格点所拥有的总相互作用能为  $E_i = -J\vec{S}_i \cdot \sum_{j=1}^6 \vec{S}_j$ 。函数中的变量  $spin = \sum_{j=1}^6 \vec{S}_j$ , 这样计算得到的  $E$  即为总相互作用能。

定义 4 个方法:  $total\_E()$ ,  $total\_M()$ ,  $average\_E()$ ,  $average\_M()$ 。

```

78     def total_E(self):
79         total_energy = 0
80
81         for x in range(self.size):
82             for y in range(self.size):
83                 for z in range(self.size):
84                     total_energy += self.unit_E(x, y, z)
85         return total_energy / 2
86
87     def total_M(self):
88         return np.sum(np.sum(np.sum(self.lattice, axis = 0), axis = 0), axis = 0)
89
90     def average_E(self):
91         E = self.total_E()
92         return E / (self.size ** 3)
93
94     def average_M(self):
95         M = self.total_M()
96         return M / (self.size ** 3)

```

$total\_E()$ 计算体系的总能量,  $total\_M()$ 计算体系的总磁矩,  $average\_E()$ 计算体系的平均能量,  $average\_M()$ 计算体系的平均磁矩。

$total\_E = \frac{1}{2} \sum_i unit\_E$  (相互作用能被计算了两次),  $total\_M = \sum_{x,y,z} lattice[x,y,z]$ ,  $average\_E = total\_E/size^3$ ,  $average\_M = total\_M/size^3$ 。

定义方法:  $Metropolis(temperature)$ 。Metropolis 方法, 一次随机翻转一个 spin。由于玻尔兹曼常数  $k$  太小, 在进行数值计算时, 我们把  $kT$  当作一个整体  $T$  来考虑, 即变量  $temperature$ 。

```

98         # Metropolis method, flip a single spin for one time.
99         def Metropolis(self, temperature):
100
101             # Pick a spin to flip randomly.
102
103             x = np.random.randint(0, self.size)
104             y = np.random.randint(0, self.size)
105             z = np.random.randint(0, self.size)
106             original_spin = self.lattice[x, y, z].copy()
107
108             # The original energy.
109             E0 = self.unit_E(x, y, z)
110
111             vec = np.random.randn(3)
112             vec = vec / np.linalg.norm(vec)
113             self.lattice[x, y, z] = vec
114
115             # The energy after flip.
116             E1 = self.unit_E(x, y, z)
117             delta_E = E1 - E0
118
119             # Calculate the Metropolis acceptance rate.
120             if delta_E > 0:
121                 if np.random.rand() > np.exp(-delta_E / temperature):
122                     self.lattice[x, y, z] = original_spin
123
124             return None

```

$x, y, z$  是  $[0, size - 1]$  范围内的随机整数, 这样可以随机挑选出一个待翻转的格点。把原来的 spin 值保存下来 ( $original\_spin$ ), 再把翻转前的相互作用能保存下来 ( $E_0$ )。随机生成一个均匀分布在单位球面上的矢量  $vec$ , 将其作为新的 spin 值赋值给原来的格点, 这样就完成一次翻转。但这次翻转有一定的 acceptance rate, 这个概率需要通过能量差  $\Delta E$  来计算。计算翻转后的相互作用能  $E_1$ , 则能量差  $delta\_E = \Delta E = E_1 - E_0$ 。

被选中的点翻转的概率 acceptance rate  $P = \begin{cases} 1 & \Delta E \leq 0 \\ \exp\left(-\frac{\Delta E}{kT}\right) & \Delta E > 0 \end{cases}$ , 因此生成一个  $[0, 1)$

的随机数，只有当 $\Delta E > 0$ 且随机数大于 $-\frac{\Delta E}{kT}$ 时，这次翻转不被接受。只有在这种情况下，我们需要把格点的 `spin` 值改回原来的 `original_spin`，这样就不发生翻转，其他情况下均发生翻转。

```

127 size = 32
128 temperature = 1
129 J = 1
130 steps = 10000000
131
132 h = Heisenberg(size, J)
133 h.initialize_spin()
134 iteration = []
135 M = []
136
137 for i in range(steps):
138     h.Metropolis(temperature)
139
140     if (i+1) % 10000 == 0:
141         iteration.append(i+1)
142         M.append(h.average_M())
143
144     if (i+1) % 100000 == 0:
145         print(h.average_M())
146
147 plt.plot(iteration, M)
148 plt.show()

```

最后开始我们的 Metropolis 采样。我采用的晶格大小为  $32 \times 32 \times 32$ ，温度 `temperature` 可变， $J = 1$ ，模拟的总次数为  $10^7$  次，在居里温度附近会遇到临界慢化现象，需要采用更多的模拟次数，最多  $2 \times 10^7$  次。

模拟开始前生成一个 Heisenberg 类的实例 `h`，调用 `h.initialize_spin()` 方法，将所有格点的自旋初始化，模拟从低温有序向高温无序状态的演化。在每次模拟过程中记录平均磁矩随模拟次数的演化，每 1 万次模拟后记录一个平均磁矩的值，每 10 万次模拟后输出一个平均磁矩，以便在模拟过程中观察系统是否达到平衡状态。

最后，程序输出一个 `x, y, z` 方向的磁矩大小随模拟次数的变化图。

由于初始态所有格点的磁矩都是  $(0,0,1)$ ，平均磁矩的初始值即为  $(0,0,1)$ ，不同温度下模拟的结果如图所示，蓝线为 `x` 方向的磁矩大小，橙线为 `y` 方向，绿线为 `z` 方向。

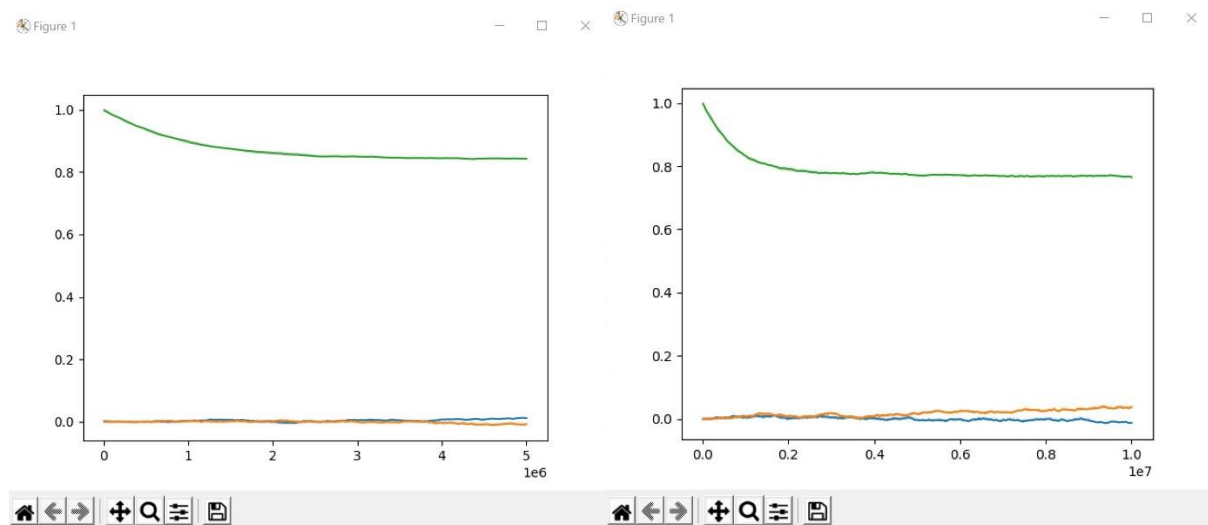


图 1  $T = 0.6$

图 2  $T = 0.8$



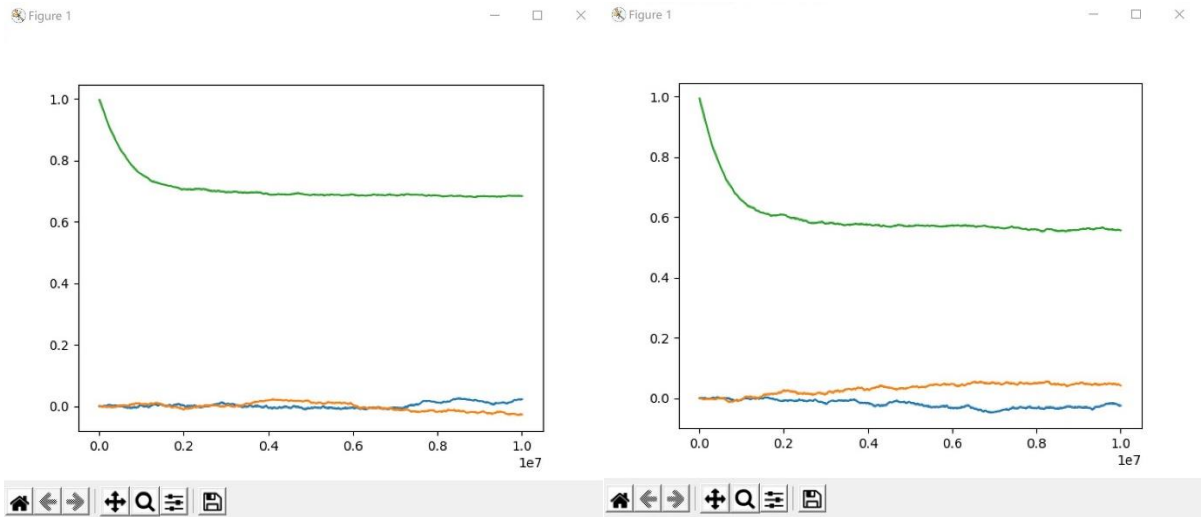


图 3  $T = 1.0$

图 4  $T = 1.2$

可以看到，随着温度升高，平衡状态下的  $z$  方向磁矩  $M_z$  越来越小，但离居里温度还有一定的距离。居里温度下， $M_z$  随模拟次数增多逐渐减小至 0 附近，与  $M_x, M_y$  无差别（达到各向同性）。

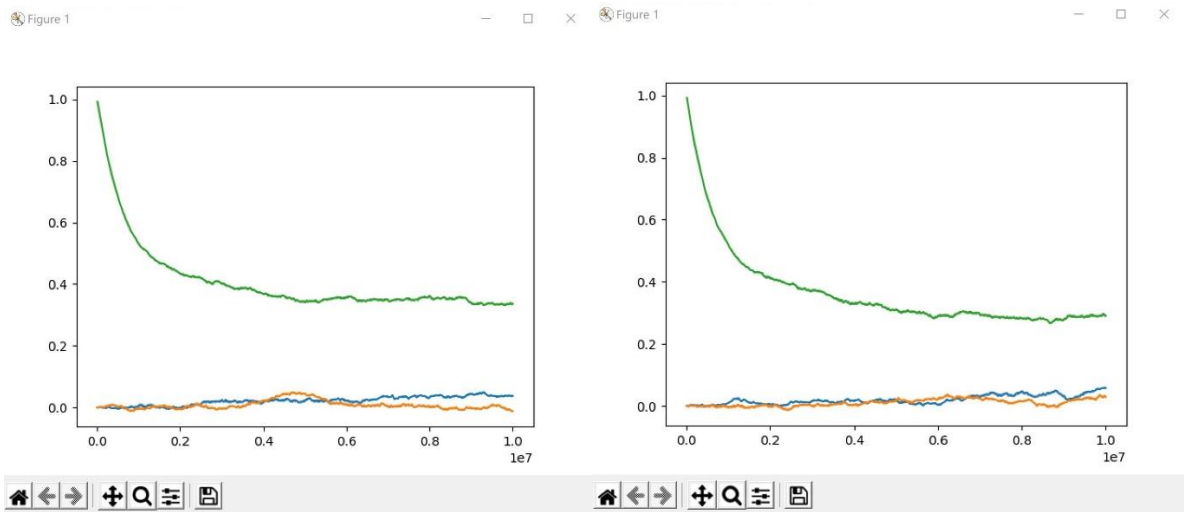


图 5  $T = 1.4$

图 6  $T = 1.425$

平衡状态下  $M_z$  进一步降低，但达到平衡状态需要的模拟次数越来越多，临界慢化现象出现，需要进一步增加模拟的次数至 1500 万次。

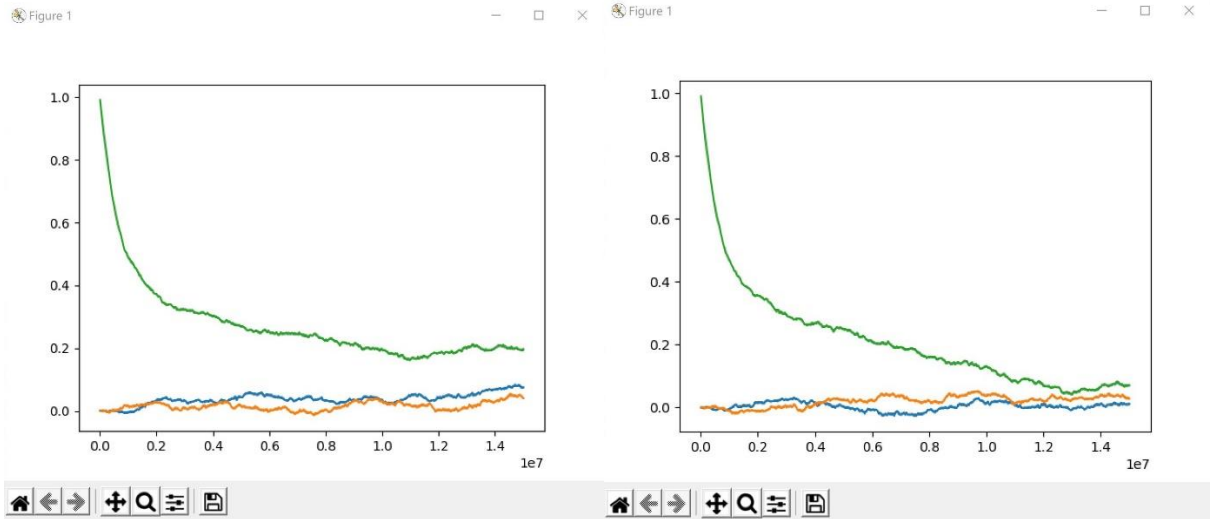


图 7  $T = 1.45$

图 8  $T = 1.475$

可以看到在 $T = 1.475$ 时，平衡状态下的 $M_z$ 已经非常小（ $M_z = 0.0702$ ），与 $M_x, M_y$ 非常接近。由于临界慢化现象的存在，达到平衡所需要的模拟次数已经接近 1500 万次，对于后续模拟，需要进一步增加模拟次数至 2000 万次。

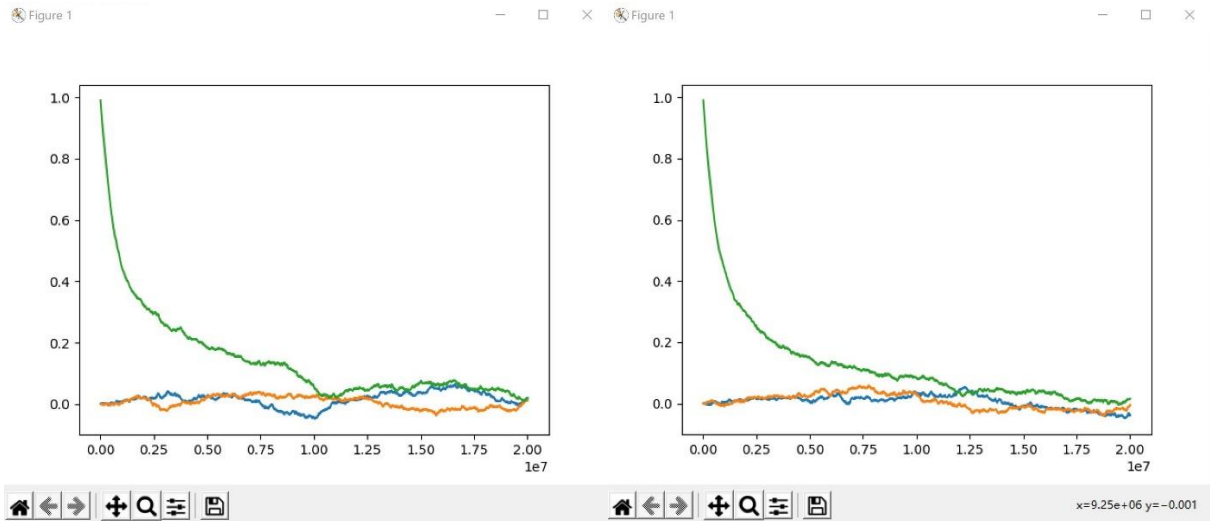


图 9  $T = 1.5$

图 10  $T = 1.525$

在 $T = 1.5$ 时，平衡状态下的 $M_z = 0.0163$ ，已经可以认为是 0， $M_z$ 与 $M_x, M_y$ 已经没有区别，体系达到各向同性。可以认为居里温度 $T_c = 1.5$ 或居里温度在 $1.475 - 1.5$ 之间。 $T = 1.525$ 时，体系达到平衡时 $M_z = 0.0141$ ，约等于 0。同样，体系也达到各向同性， $M_z$ 与 $M_x, M_y$ 没有什么区别。



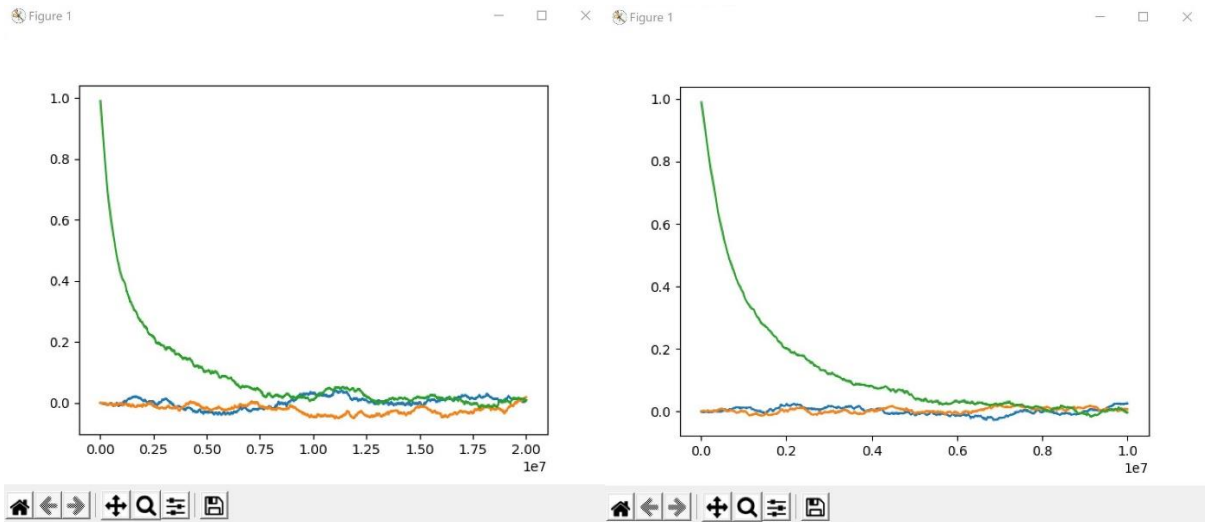


图 11  $T = 1.55$

图 12  $T = 1.6$

在 $T = 1.55$ 时，我仍然把模拟次数设为 2000 万次，但可以看到，在温度超过居里温度 $T_c$ 后，体系更快地达到平衡状态。在大约 1000 万次左右的时候，我们就可以看到 $M_x$ 超过了 $M_z$ ，且 $M_x, M_y, M_z$ 都约等于 0。所以在 $T = 1.6$ 的情况下，我将模拟次数调整回 1000 万次。可以看到，体系更快地达到了平衡（800 万次左右），相应的， $M_z$ 也减小得更快。

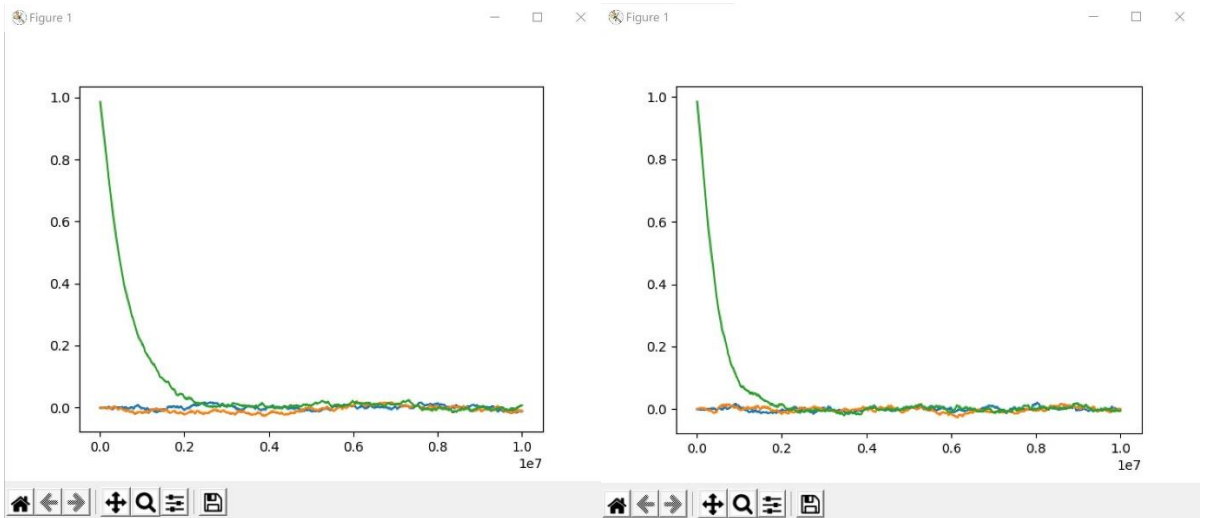
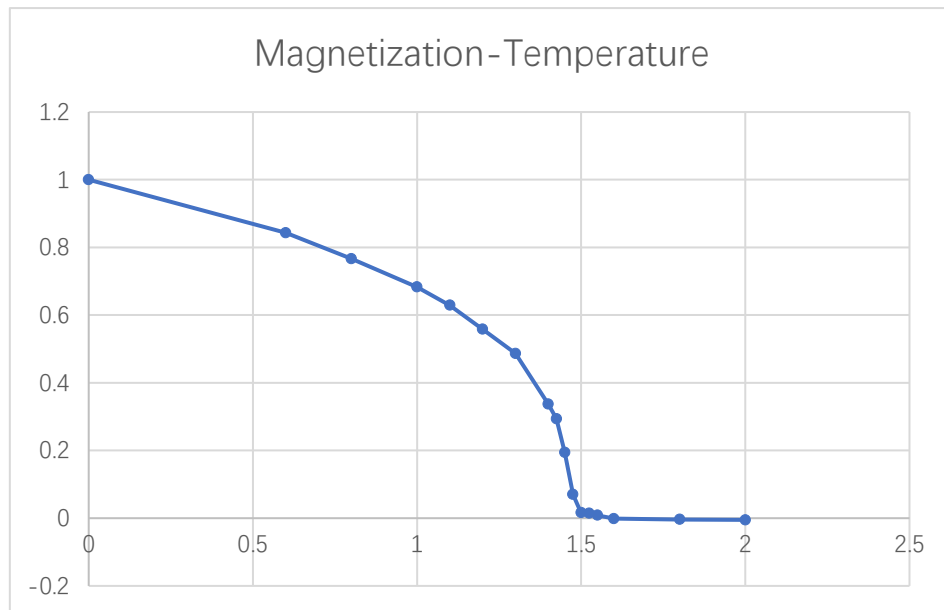


图 13  $T = 1.8$

图 14  $T = 2.0$

在 $T = 1.8$ 和 $T = 2.0$ 时，体系迅速达到平衡状态（200 万次左右）， $M_x, M_y, M_z$ 已看不出任何区别，体系达到各向同性。

可以得到结论，3D Heisenberg spin model 的居里温度 $T_c = 1.5$ 。将平均磁矩 $M_z$ 随温度 $T$ 的变化关系作图，得到结果如图所示：



详细数据见下表：

T	0.6	0.8	1	1.1	1.2	1.3	1.4	1.425
M	0.8432	0.7664	0.683	0.629	0.5579	0.4867	0.3369	0.2935
T	1.45	1.475	1.5	1.525	1.55	1.6	1.8	2
M	0.1945	0.0702	0.0163	0.0141	0.0086	-0.0014	-0.0036	-0.0049

讨论：

用 Python 编写 Heisenberg model 并进行 Metropolis 采样，总体来说运行速度较慢。一个温度下进行 1000 万次采样需要花费 10 多分钟，遇到临界慢化现象采样 2000 万次更需要 20 多分钟，效率不高。但是 Python 在数据可视化方面具备一定的优势，可以更直观地判断体系是否达到平衡，也可以清晰地观察到临界慢化现象。由于数据量整体来说不大，所以最终还是选择了 Python 来完成模拟。

Input:  $size, J, temperature$

Output:  $the\ average\ magnetization\ of\ 3D\ Heisenberg\ model$

1.  $lattice \leftarrow size \times size \times size \times 3\ matrix$
2. **Function**  $initialize\_spin()$
3. **For**  $i \leftarrow 1\ to\ size$  **Do**
4.     **For**  $j \leftarrow 1\ to\ size$  **Do**
5.         **For**  $k \leftarrow 1\ to\ size$  **Do**
6.              $lattice[i, j, k] \leftarrow (0,0,1)$
7.     **Return** None
8. **End Function**
- 9.
10. **Function**  $x\_before(x, y, z)$
11. **If**  $x < 1$  **Then**
12.     **Return**  $[size, y, z]$
13. **Else**
14.     **Return**  $[x - 1, y, z]$
15. **End If**
16. **End Function**
17.  $/*\ Similarly,\ we\ can\ get\ x\_after(), y\_before(), y\_after(), z\_before(), z\_after()\ */$
- 18.
19. **Function**  $unit\_E(x, y, z)$
20.  $[x_1, y_1, z_1] \leftarrow x\_before(x, y, z)$
21.  $[x_2, y_2, z_2] \leftarrow x\_after(x, y, z)$
22.  $[x_3, y_3, z_3] \leftarrow y\_before(x, y, z)$
23.  $[x_4, y_4, z_4] \leftarrow y\_after(x, y, z)$
24.  $[x_5, y_5, z_5] \leftarrow z\_before(x, y, z)$
25.  $[x_6, y_6, z_6] \leftarrow z\_after(x, y, z)$
26.  $spin \leftarrow (0,0,0)$
27. **For**  $i \leftarrow 1\ to\ 6$  **Do**
28.      $spin \leftarrow spin + lattice[x_i, y_i, z_i]$

```

29.  $E \leftarrow -J \times \text{lattice}[x,y,z] \cdot \text{spin}$ 
30. Return  $E$ 
31. End Function
32.
33. Function average_M()
34.  $M \leftarrow (0,0,0)$ 
35. For  $i \leftarrow 1$  to size Do
36.     For  $j \leftarrow 1$  to size Do
37.         For  $k \leftarrow 1$  to size Do
38.              $M \leftarrow M + \text{lattice}[i,j,k]$ 
39. Return  $M/\text{size}^3$ 
40. End Function
41.
42. Function Metropolis(temperature)
43.  $x,y,z \leftarrow \text{random integer} \in [1,\text{size}]$ 
44.  $\text{original\_spin} \leftarrow \text{lattice}[x,y,z]$ 
45.  $E_0 \leftarrow \text{unit\_E}(x,y,z)$ 
46.  $x',y',z' \leftarrow \text{random number} \in \text{standard normal distribution}$ 
47.  $\text{lattice}[x,y,z] \leftarrow (x',y',z')/|(x',y',z')|$ 
48.  $E_1 \leftarrow \text{unit\_E}(x,y,z)$ 
49.  $\Delta E \leftarrow E_1 - E_0$ 
50. If  $\Delta E > 0$  Then
51.      $n \leftarrow \text{random number} \in [0,1)$ 
52.     If  $n > \exp\left(-\frac{\Delta E}{\text{temperature}}\right)$  Then
53.          $\text{lattice}[x,y,z] \leftarrow \text{original\_spin}$ 
54. Return None
55. End Function

```